

<http://130.149.60.45/~farbmetrik/RF96/RF96L0FA.TXT>/.PS; sortie de production
F: linearisation 3D RF96/RF96LF30FA.DAT dans fichier (F), page 1/2

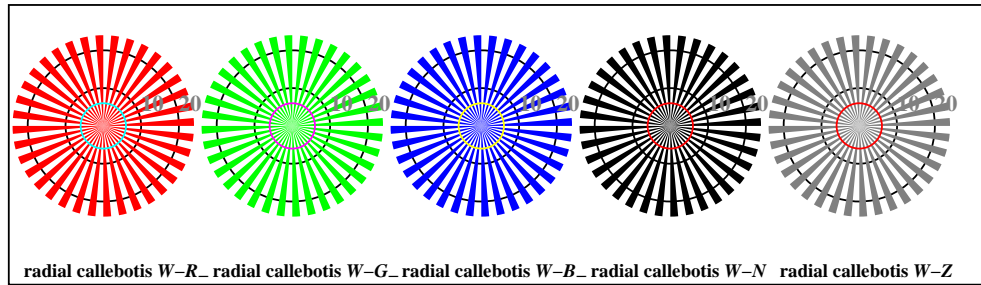


TUB enregistrement: 20130201-RF96/RF96L01 application pour la mesure de sortie sur écran

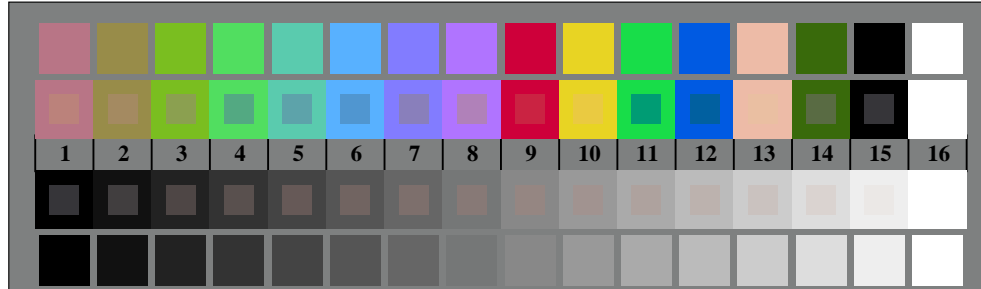
TUB matériel: code=rha4ta



RF960-3, Fig. D1W-: le motif fleuri, 14 CIE test couleurs et 2 + 16 gris étapes (sf); ; PS operator 3 colorimage



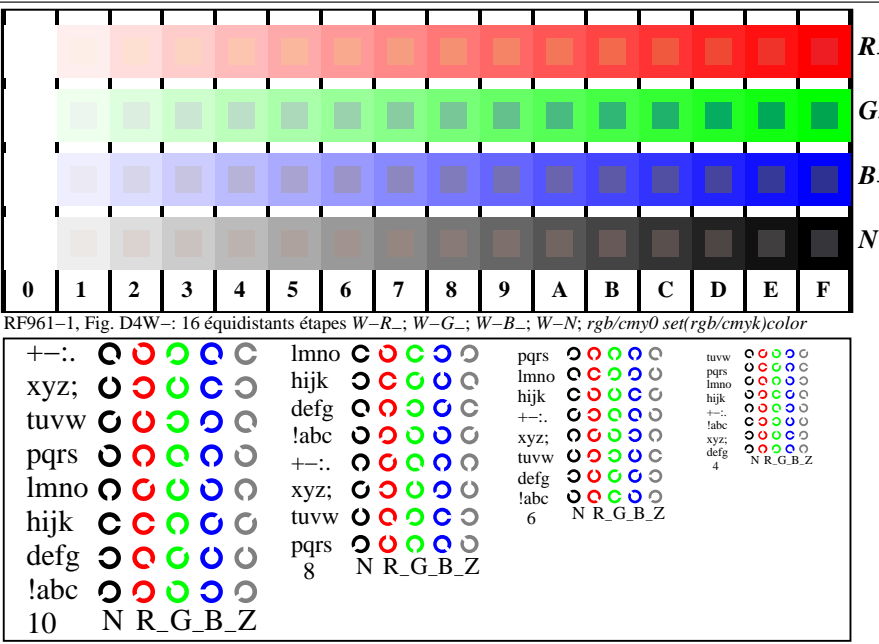
RF960-5, Fig. D2W: radial callebotis $W-R_-$; $W-G_-$; $W-B_-$; $W-N$; PS operator $rgb \rightarrow rgb_setrgbcolor$



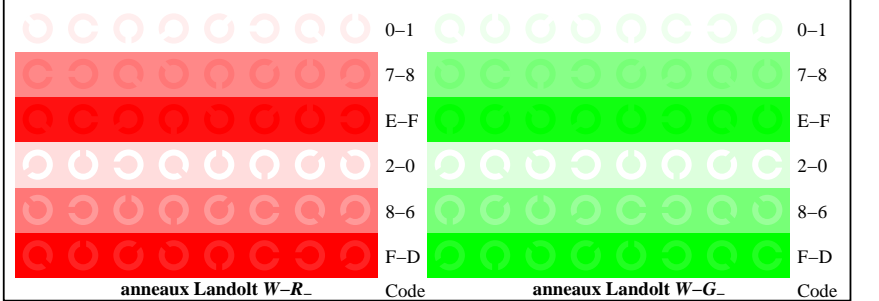
RF960-7 Fig. D3W-: 14 CIE test couleurs et 2 + 16 gris étapes (sf); $rgb/cmy0$ set($rgb/cmyk$)color



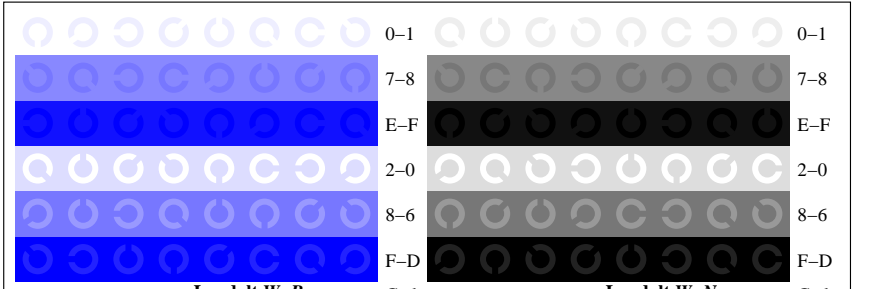
graphique RF96; 4(ISO/IEC 15775 + ISO/IEC TR 24705)
chromatic graphique de test *RGB*



RF961-3, Fig. D5W-: code et Landolt anneauN; R_- ; G_- ; B_- ; Z ; PS operator $rgb \rightarrow rgb_setrgbcolor$



RF961-5, Fig. D6W-: anneaux Landolt $W-R_-$; $W-G_-$; PS operator *rgb setrgbcolor*



RF961-7, Fig. D7W-: anneaux Landolt $W-B$: $W-N$; PS operator *rgb setrgbcolor*.



entrée: *rgb/cmyk* → *w/rgb/cmyk_*
sortie: aucun changement